

제천규석으로 부터 제조한 β -SiC 분말 및 소결체의 특성

이홍림 · 신석호 · 배철훈 · 김무경 *

연세대학교 공과대학 요업공학과

* 국립공업시험원

(1987년 2월 6일 접수)

Properties of Powders and Sintered Bodies of β -SiC Prepared from Jecheon Quartzite

Hong-Lim Lee, Suk-Ho Shin, Chul-Hoon Pai, Moo-Kyung Kim*

Dept. of Ceramic Engineering, Yonsei University

*National Industrial Research Institute

(Received February 6, 1987)

요약

제천규석중의 SiO_2 성분에 대하여 탄소(graphite 또는 carbon black)를 5 mole 비로 혼합하여 H_2 분위기에서 1400°C로 7시간동안 환원탄화시킴으로써 β -SiC 분말을 합성하였다. 이 분말을 HF와 HNO_3 를 1:1로 섞은 등량혼합산으로 산처리함으로 불순물을 거의 완전히 제거시키고 비표면적을 증대시켰으며 순도가 높고 미세한 소결용 β -SiC 분말을 제조할 수 있었다.

산처리한 β -SiC 분말에 소결조제로서 Al_2O_3 를 5wt. % 첨가하고 Ar 분위기에서 1900°C로 30분간 고온프레스하여 소결체를 얻었다. 이 소결체의 밀도는 3.195 g/cm^3 , M.O.R. 값은 $48.7 \text{ kg}_f/\text{mm}^2$, 경도는 $2,182 \text{ kg}_f/\text{mm}^2$, K_{IC} 는 $5.4 \text{ MN/m}^{3/2}$ 였다.

ABSTRACT

β -SiC powders were prepared by the simultaneous reduction and carbiding of Jecheon quartzite at 1400°C for 7 hours in hydrogen atmosphere, using graphite or carbon black as the reducing and carbiding reagent.

The prepared SiC powder was acid-treated with the mixture of fluoric acid and hydrochloric acid at room temperature and also by heating on an alcohol lamp for one hour, respectively. The impurities were mostly eliminated and the purity of SiC became 98.5% after hot acid treatment. The specific surface area of SiC powder was also increased up to $115 \text{ m}^2/\text{g}$ by hot acid treatment.

This pure and fine SiC powder was hot-pressed at 1900°C for 30 min, using 5wt% Al_2O_3 as a sintering aid. The density, M.O.R., K_{IC} and hardness of the hot-pressed SiC ceramics were 3.195 g/cm^3 , 48.7 Kgf/mm^2 , $5.4 \text{ MN/m}^{3/2}$ and $2,182 \text{ Kgf/mm}^2$, respectively.

1. 서 론

파인세라믹스 중에서 열적기능과 기계적 기능의 이용을 중심으로 연구 개발되고 있는 엔지니어링 세라믹스 가운데서 대표적인 재료로서 Si_3N_4 , Sialon, SiC 등의 비산화물 재료를 들 수 있다. 이를 비산화물계 세라믹스는 강도가 높고 열충격 저항성이 높아서 가혹한 응력조건 하에서 사용되는 열기판 등의 용용에 활용하여 연구되고 있다. 이 중에서 특히 SiC는 강한 공유결합을 하고 있으므로 강도가 높고 분해온도가 높다. 또 표면에 silica 빙어층을 형성하므로 공기중에서 1200 °C 이상에서도 안정하여 열팽창계수가 작고 내화학적 특성도 우수한 재료이다.¹⁾ 입방정인 β -SiC와 육방정 및 능면체인 α -SiC로 대별할 수 있으며 결정구조의 기본은 SiC_4 와 CSi_4 4면체이고 Si와 C는 서로 등가 관계이다.

SiC의 분말합성은 Acheson 법²⁾과 Si, SiO_2 , SiO_3 등의 탄화환원법^{3~5)}이 있으며 소결방법도 고온프레스법(hot - pressing), 상압소결법, 반응소결법 등이 널리 쓰이고 있으며 이외에 재결정법과 고압자기 연소소결법⁶⁾ 등이 개발되어 있다.

β -SiC분말의 소결이 α -SiC분말의 소결보다 낮은 온도에서 고밀도의 소결체를 얻을 수 있고 또한 소성수축도 적은 이점이 있어서⁷⁾ 최근 이에 대한 연구가 활발히 진행되고 있다.

본 연구에서는 제천규석 중의 SiO_2 성분을 탄소로써 환원탄화반응시킴으로써 SiC분말을 얻고 산처리하여 SiC세라믹스의 소결원료 분말로서 필요한 조건인 입자의 미세화, 불순물의 제거, 비표면적의 증대 등에 관해서 연구 관찰하였다.

강하고 직접적인 공유결합 때문에 치밀화를 기하기 어려운 물질이므로 소결조제로서 Al^{10} , Al_2O_3 ⁹⁾, B와 C^{10~12)} 등을 첨가하여 이론밀도에 가까운 소결체를 얻은 바 있으므로 본 연구에서는 원료성분 중에 이미 불순물로서 존재하는 Al_2O_3 성분을 고려하여 Al_2O_3 를 소결조제로 첨가하고 고온프레스하였다.

합성한 SiC 분말과 소결체의 물성을 조사하여 국산 천연원료의 고온구조재로서의 응용가능성을 검토하였다.

2. 실험

2.1 출발원료

출발원료로는 비교적 SiO_2 함량이 높은 제천규석을 사용하였으며 이 제천규석의 화학조성은 Table 1과 같다. 대부분이 α -quartz의 결정상으로 되어있고 불순

들은 산처리에 의해서 모두 제거시킬 수 있었다. 불순물로 존재하는 Al_2O_3 는 SiC의 합성후에 소결조제로 사용되었다.

환원제로는 carbon black (Shinyo Pure Chemicals Co.)과 graphite (Junsei Chemical Co.)를 사용하였다.

2.2 β -SiC 분말 합성

제천규석을 분쇄하여 에탄올과 함께 plastic bottle 속에 넣어 alumina ball로써 20시간 불밀로 미분쇄한 후 325 mesh 체를 통과시켜 규석 미분말을 얻었다. 이 미분말에 carbon black 또는 graphite 분말을 구석 중의 SiO_2 성분에 대하여 5mole비 ($\text{C}/\text{SiO}_2 = 5$ molar ratio)로 alumina 유발 속에서 아세톤을 사용하여 습식으로 충분히 혼합한 다음 steel mold에서 320 kg/cm²의 압력으로 14.1 mmφ × 2 ~ 3 mm의 pellet 상의 시편을 성형하였다.

이렇게 만든 시편을 alumina boat 위에 올려서 반응관의 중앙에 위치시키고 1400 °C에서 7시간동안 수소가스중에서 반응시켰다.^{15, 19)} 승온속도는 5 °C/min로 하고 온도측정은 Pt-Pt · Rh 13 %의 열전대를 사용하였다. 수소가스는 silica gel을 넣은 U자관 속을 통과시켜서 수분을 제거한 다음 10 cm³/s의 유속으로 반응이 시작되기 전부터 반응이 끝나고 상온으로 냉각된 후에 까지 일정하게 항상 흘려주었다.

반응생성물중에 미반응불로 남아있는 친류탄소를 제거하기 위해서 600 °C에서 5시간 동안 공기중에서 가열하였다.

2.3 산처리

미반응의 SiO_2 및 원료중의 Fe, Ca 등을 제거하고 비표면적을 증대시키기 위해서 산처리를 하였다.

백금도가니에 HF와 HNO_3 를 1:1로 섞은 등량혼합산 속에 합성 β -SiC 분말을 넣고 상온에서 2시간동안 둔 것과 또한 알코올 램프위에서 가열하면서 1시간동안 산처리한 것 등 2 가지 방법으로 산처리하였다. 이렇게 각각 산처리한 것은 다시 증류수로 세척하여 거름종이로 거른 다음 전조하였다.

2.4 β -SiC 합성분말의 소결

산처리한 β -SiC분말에 소결조제로 Al_2O_3 (Junsei Chemical Co.) 분말을 5wt. % 첨가하여 내부가 BN

Table 1. Chemical Composition of Jecheon Quartzite.

Component	SiO_2	Al_2O_3	Fe_2O_3	CaO	MgO	Ig. loss
wt. %	94.30	2.80	0.70	0.93	Tr.	0.63

으로 코오팅된 지름 30 mm의 graphite mold에 넣어서 Ar 분위기 중에서 4000 psi로 1900°C에서 30분간 고온프레스하였다.

2.5 XRD 및 EDAX 분석

합성분말과 소결체의 결정상을 분석하기 위하여 X선회절분석 장치(Ni filter, CuK α , 30 kV, 10 mA)를 사용하였고 EDAX(Energy Dispersive Analysis of X-Ray)로써 미량성분까지 분석하여 산체리에 따른 화학조성의 변화를 관찰하였다.

2.6 미세구조 관찰

합성 β -SiC 분말의 입자를 주사현미경(SEM)과 투과전자현미경(TEM)으로 관찰하였으며 소결체 시편의 표면을 NaOH 용액에서 5시간 etching 시킨 것과 소결체의 파단면을 초음파세척기로 세척하여 금을 입혀서 SEM으로 관찰하였다.

2.7 비표면적 측정

N_2 가스 흡착에 의한 BET법에 의해서 비표면적을 구하였다.

2.8 밀도 및 기공율 측정

KSL-3114에 의해서 밀도와 기공율을 측정하였으며 3회이상 반복측정하여 그 평균치를 구하였다.

2.9 상온 꺾임강도(M. O. R.) 측정

소결된 시편을 절라내어 grit 수가 600번, 800번, 1200번의 순으로 SiC paper로써 시편의 길이방향으로 연마하고 Instron을 사용하여 93 kg load cell에서 cross head speed 0.5 mm/min, span width 22.30 mm의 조건에서 M. O. R.을 측정하였다.

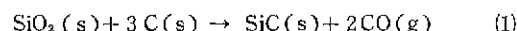
2.10 파괴인성(K_{IC}) 및 경도

시편의 표면을 grit 수 1000, 1200, 1500번의 순으로 diamond paste를 사용하여 연마하고 Vickers hardness 시험기로써 50 kg의 하중으로 압입(indentation)한 다음 경도와 파괴인성(K_{IC})을 측정하였다.²⁰⁾

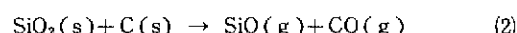
3. 결과 및 고찰

3.1 SiC의 생성열역학 및 환원체의 영향

SiO_2 를 탄소로써 환원 및 탄화시켜서 얻게되는 반응식은 다음과 같다.



이 반응은 기상이 개재되는 반응이며 다음과 같은 연쇄 반응으로 알려져 있다.¹⁹⁾



반응식(1)에 대한 열역학적이다¹⁹⁾로부터 1800 K 이

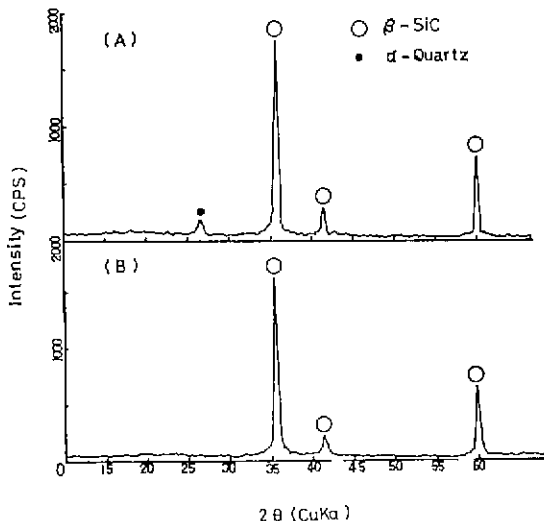


Fig. 1. X-ray diffraction patterns of reaction products from Jecheon quartzite ($C/SiO_2 = 5$ molar ratio) at 1400°C for 7h in H_2 .
(a) graphite was used
(b) carbon black was used

상에서 자유에너지 변화값이 음의 값으로 되지만 CO 의 분압을 충분히 낮추어 주기만 하면 본 실험의 온도 영역인 1400°C에서도 자유에너지 변화값이 음이 되므로 수소분위기 중에서 silica로부터 탄소에 의해서 SiC 를 얻을 수 있다.

출발원료중의 SiO_2 성분에 대하여 탄소(graphite 또는 carbon black)를 5 률비로 혼합하여 1400°C에서 7시간동안 수소분위기 중에서 합성한 분말에 대한 X선회절결과를 Fig. 1에 나타내었다. graphite를 사용했을 때에는 β -SiC 이외에 미량의 α -quartz가 남아 있으나 carbon black을 사용했을 때에는 α -quartz는 완전히 없어지고 β -SiC 만이 얻어진 것을 알 수 있다. 따라서 graphite 보다 carbon black이 보다 효과적인 환원제의 작용을 나타내었다.

3.2 합성분말에 대한 산체리 효과

3.2.1 화학조성의 변화

SiC 분말은 HF와 HNO_3 의 혼합산에 의해서 매우 부식 용해되기 쉽고 산체리한 후에는 비화학양론성이 증가를 가져온다. Hase 등¹⁶⁾은 이러한 현상을 처음으로 보고하였으며 β -SiC 결정표면에 노출되어 있는 Si층과 C층에서 혼합산에 의한 부식의 차이가 일어나기 때문이며 비화학양론성이 증가하고 입자표면의 선택적인 부식으로 비표면적이 증가한다고 밝혔다. 따라서 혼산체리에 의해서 β -SiC의 입자 전체에 영향을 미치며

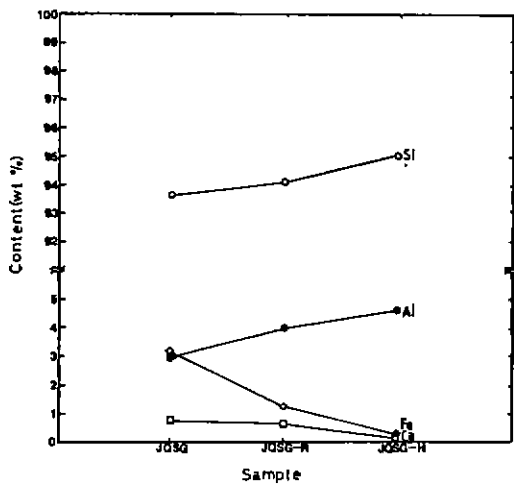


Fig. 2. Chemical composition of β -SiC powder prepared from graphite / Jecheon quartzite (5 molar ratio) mixture at 1400°C for 7 h in H_2 .

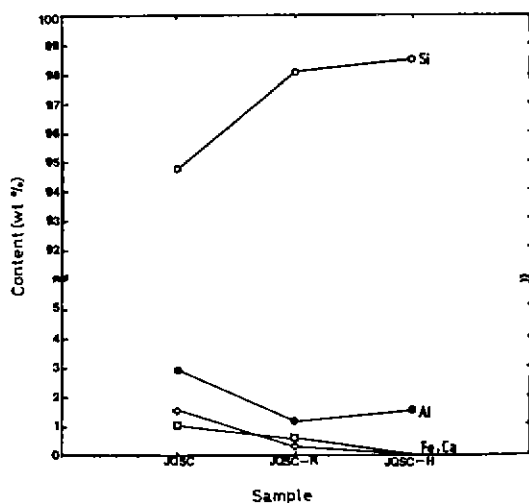


Fig. 3. Chemical composition of β -SiC powder prepared from carbon black / Jecheon quartzite (5 molar ratio) mixture at 1400°C for 7 h in H_2 .

산처리하지 않은 SiC 분말과는 다르게 매우 활성이 큰 미립자상의 분말이 된다. 또한 산처리를 함으로써 소결성도 매우 좋아졌다는 보고도 있다.⁹⁾

Graphite를 사용하여 합성한 SiC 분말을 JQSG, carbon black을 사용하여 합성한 SiC 분말을 JQSC, 이를 각각의 분말들을 상온에서 혼산처리한 것을 각각 JQSG-R과 JQSC-R이라고 하고 그리고 이들 각

각의 분말들을 가열 혼산처리한 것을 각각 JQSG-H와 JQSC-H라고 나타낼 때 이들 분말에 대한 EDAX 분석결과는 Fig. 2 및 Fig. 3과 같다. 즉 Fig. 2에는 graphite를 사용하여 합성한 β -SiC 분말에 대한 것이고 Fig. 3은 carbon black을 사용하여 합성한 β -SiC 분말에 대한 산처리 전후의 결과이다. Fig. 2와 Fig. 3에서 알 수 있듯이 graphite를 환원제로 사용한 Fig. 2의 경우에는 가열 혼산처리 후에도 미량의 Fe와 Ca가 검출되고 있으나 carbon black을 환원제로 하여 합성한 경우인 Fig. 3에서는 가열 혼산처리 후에 Fe와 Ca가 완전히 제거된 것을 알 수 있다. 이에 따라 Si의 함량도 98% 이상인 고순도의 분밀을 얻을 수 있는 것을 알 수 있다. 합성한 분밀에 대하여 산처리할 때 일어나는 질량감소를 Table 2에 나타내었다. 여기서도 역시 carbon black을 사용함으로써 산처리에 의한 질량감소가 더욱 크게 나타남을 알 수 있다.

Table 2. Weight Loss According to Acid Treatment.

Sample	JQSC-R	JQSC-H	JQSG-R	JQSG-H
wt. loss (%)	27.4	46.5	11.5	18.0

3.2.2 미세구조의 변화

Fig. 4에는 합성분밀에 대한 산처리 전후에 SEM 사진을 나타내었다. 산처리하기 전에는 carbon black으로 합성한 분밀(JQSC)이 graphite로 합성한 분밀(JQSG)보다 더 미세하고 whisker가 많이 생성되었으며 가열 혼산처리 후에도 carbon black으로 합성한 분밀(JQSC-H)이 $1\mu m$ 이하의 입자로 이루어져 있음을 알 수 있다.

Fig. 5에는 합성분밀을 가열 혼산처리한 후에 투파전자현미경(TEM)으로 관찰한 것을 나타내었는데 이것으로부터도 carbon black으로 합성한 것(JQSC-H)은 graphite로 합성한 것(JQSG-H)보다 더욱 미세한 것을 알 수 있다.

3.2.3 비표면적의 변화

Fig. 6에는 합성분밀에 대한 산처리에 따른 비표면적의 변화를 나타내었다. graphite를 사용해서 합성한 분밀(JQSG, JQSG-R, JQSG-H)보다 carbon black을 사용하여 합성한 분밀(JQSC, JQSC-R, JQSC-H)의 비표면적이 더욱 크며 특히 carbon black으로 합성한 분밀의 경우에는 산처리함으로써 비표면

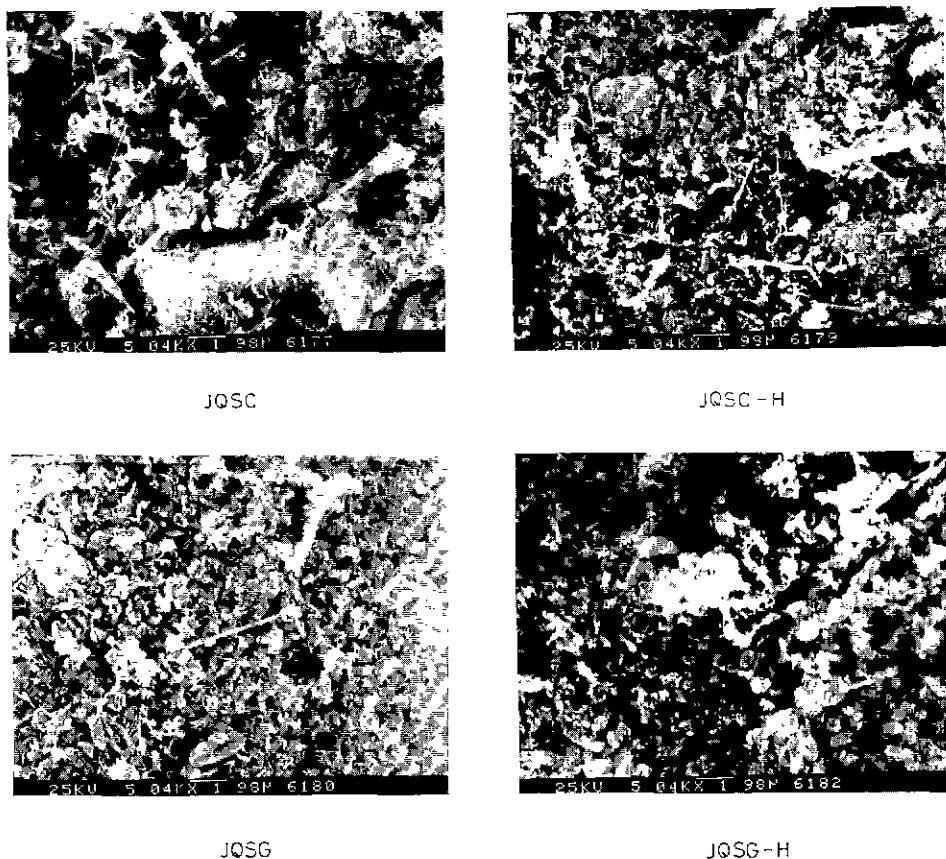


Fig. 4. SEM photographs for β -SiC powders prepared from Jecheon quartzite.

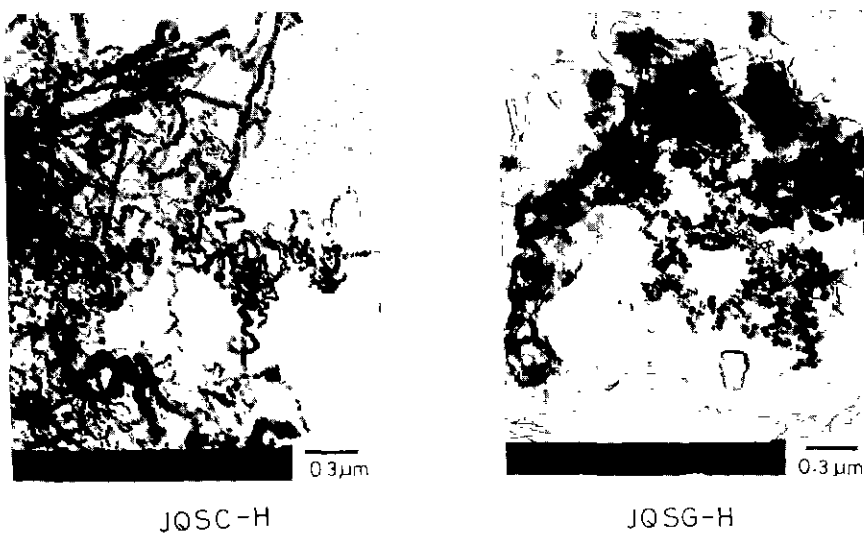


Fig. 5. TEM photographs for β -SiC powders prepared from Jecheon quartzite.

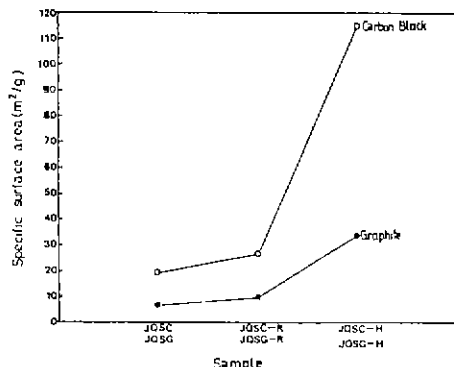


Fig. 6. Specific surface area of β -SiC powder prepared from Jecheon quartzite ($C/SiO_2 = 5$ molar ratio) at $1400^\circ C$ for 5 h in H_2 .

적이 산체리하기 전보다 6배나 증가하였다. 이것은 carbon black이 비정질이어서 결정질인 graphite에 비해서 반응성이 더욱 좋으며 입자가 미세하여서 합성된 분말의 입자도 더욱 미세화된 것으로 생각된다.

합성분말의 입자를 구형으로 가정하고 산체리하기전의 비표면적으로부터 다음식(4)를 이용하여 평균입자지름을 구하였다.¹⁷

$$D_S = 6 / \rho_P S_W \quad (4)$$

여기서 D_S 는 평균입자지름(μm), ρ_P 는 입자의 밀도(g/cm^3), S_W 는 비표면적(m^2/g)이다.

식(4)로부터 계산하면 carbon black을 써서 합성한 β -SiC분말(JQSC)의 평균입자지름은 약 $0.1\mu m$ 이며 graphite를 써서 합성한 β -SiC분말(JQSG)의 평균입자지름은 약 $0.22\mu m$ 로서 Fig. 4에서 나타낸 입자의 크기와 거의 일치하고 있다. 또한 이것으로부터 규

석원료가 탄소에 의해서 환원 및 탄화반응이 진행되는 과정에서 입자의 미세화가 동시에 일어난다는 것을 알 수 있다.

이상의 결과로부터 국산의 체천규석을 carbon black에 의해서 환원탄화반응시키고 산체리를 행함으로써 미량으로 존재하는 Al_2O_3 이외의 불순물은 거의 완전히 제거할 수 있으며 Si의 함량이 98% 이상이고 비표면적인 $115\text{ m}^2/\text{g}$ 인 미세한 소결용 β -SiC분말을 얻을 수 있다는 것을 알 수 있다.

3.3 소결체의 특성

3.3.1 소결체의 결정상과 미세구조

Fig. 7은 김천규석을 carbon black으로 합성한 β -SiC분말을 가열혼산처리한 다음 소결조제로서 Al_2O_3 를 5wt. % 첨가하여 $1900^\circ C$ 에서 30분간 고온프레스하여 얻은 소결체에 대한 X선 회절분석 결과이다. β -SiC 및 α -SiC(15R)가 주상으로 되어 있는데 Williams 등¹⁸은 SiC의 소결때 초기에 α -SiC(15R)과 4H 상이 나타난다고 보고한 바 있다. 소결조제로 첨가한 Al_2O_3 는 액상을 형성하여 치밀화를 쉽게 해주며¹⁹ 치밀화 단계에서 입성장을 억제시킴으로써 과대한 입성장을 방지하는 역할을 하는 것으로 보고되고 있다.²⁰

Fig. 8은 소결체의 표면과 파단면에 대한 SEM사진을 나타내고 있다. 입성장은 별로 일어나지 않았으며 구형의 입자들이 치밀화되어 있는 것을 알 수 있다.

3.3.2 소결체의 기계적 성질과 기타 특성

Table 3에는 체천규석으로부터 β -SiC를 합성하고 고온프레스한 소결체에 대한 물성치와 기계적 성질을 문현치^{1,21}와 비교하여 나타내었다. 기계적 성질과 기타의 물성들이 문현에서 보고된 값들과 거의 비슷한 것을 알 수 있다. 서로 약간의 차이가 있는 것은 제조방법과 제조온도 차이에 주로 기인된 것으로 생각하면

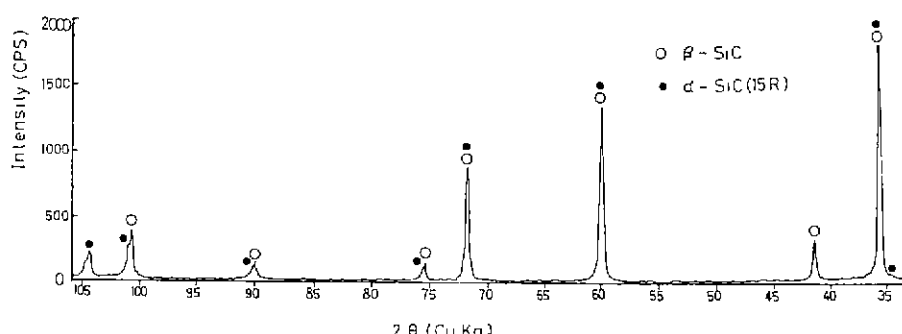


Fig. 7. X-ray diffraction pattern of β -SiC ceramics hot-pressed at $1900^\circ C$ for 30 min in Ar.

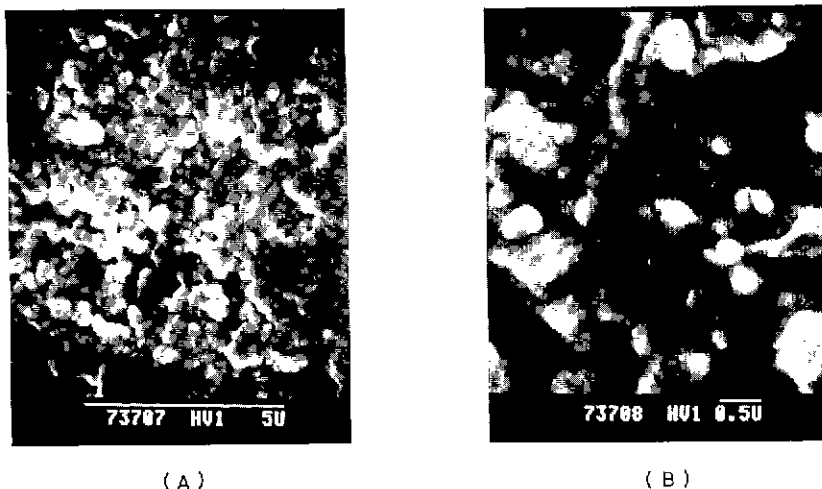


Fig. 8. SEM photographs of hot-pressed SiC, (A) as fired surface (B) fracture surface.

Table 3. Comparison of Measured Properties for SiC Ceramics in This Work with Those of References.

	RCSiC	RSSiC	RSSiC	SSiC	SSiC	HPSiC	HPSiC	IQ. HPSiC
Density (g/cm ³)	2.6	3.1	3.1	3.14 - 3.18	3.15	3.2	3.2	3.195
Porosity	18	<1		~2		<1		<1
M. O. R. (Kgf/mm ²)	10 - 13	53	53	47	60	77	84	48.7
Hardness (Kgf/mm ²)		2,500 - 3,500		2,800				2,182
K _{IC} (MN/m ^{3/2})			4.5		4.5		5	5.4
Reference	1	1	2	1	2	1	2	Present work

RCSiC : 재결정 SiC, RSSiC : 반응소결 SiC, SSiC : 상합소결 SiC, HPSiC : 고온프레스 SiC

국산 천연원료로부터 β -SiC 합성의 전망과 파인세라믹스에의 응용에 대한 가능성은 매우 밝다고 하겠다.

4. 결 론

제천규석중의 SiO_2 성분에 대하여 탄소(graphite 또는 carbon black)를 5mole 비로 혼합하여 1400°C에서 7시간동안 H_2 분위기중에서 반응시켜서 얻은 β -SiC 분말을 산처리하고 1900°C에서 고온프레스하여 β -SiC 소결체를 얻었으며 이에 대한 물성 및 기계적 강

도 등을 측정하여 다음과 같은 결론을 얻었다.

1) 화원재로서는 graphite보다 carbon black이 흐과적이었으며 순도가 98.5%인 β -SiC 분말을 합성하였다.

2) 규석원료가 탄소에 의한 환원탄화반응 과정에서 미세화되는 현상을 관찰하였다.

3) 합성된 β -SiC 분말을 가열·혼산처리함으로써 불순물이 거의 제거되었으며 비표면적을 $115\text{m}^2/\text{g}$ 까지 높일 수 있었다.

4) 산처리한 분말에 Al_2O_3 를 5 wt. % 첨가하여 1900°C에서 30분간 고온프레스함으로써 얻은 소결체의 밀도는 3.195 g/cm^3 , M.O.R. 값은 48.7 kg/mm^2 , 경도는 2.182 kg_f/mm^2 , K_{IC} 는 $5.4 \text{ MN/m}^{3/2}$ 인 특성치를 나타내었다.

Reference

- 이 홍립역, “엔지니어링 세라믹스”, 반도출판사 41~42 (1986)
- B.W. Jong, “Formation of Silicon Carbide from Silica Residues and Carbon,” *Am. Ceram. Soc. Bull.*, **58**(8), 788-789 (1979).
- 이준근, “산화물의 Carbothermal Reduction에 의한 고급 요업재료의 합성”, *요업학회지*, **15** (4), 224~227 (1978).
- Y. Sugahara et al, “Carbide Formation from a Montmorillonite-Polyacrylonitrile Inter calation Compound by Carbothermal Reduction,” *Yogyo-Kyokai-Shi*, **94**(1), 48-53 (1986).
- P.D. Miller, J.G. Lee, I.B. Cutler, “The Reduction of Silica with Carbon and Silicon Carbide,” *J. Am. Ceram. Soc.*, **62**(3-4), 147-149 (1979).
- O. Yamada et al, “High Pressure Self-Combustion Sintering of SiC from Fine Mixed Powders of Silicon and Carbon,” *Yogyo-Kyokai-Shi*, **94**(5), 512-516 (1986).
- 榎本亮, “焼結原料としての炭化ケイ素微粉末”, *セラミックス*, **17**(10), 828-33 (1982).
- T. Hase et al, “Sinterability of Submicron SiC Prepared from Siliconization of Carbon Black under Presence of Al Additives,” *Yogyo-Kyokai-Shi*, **87**(11), 576-582 (1979).
- F.F. Lange, “Hot-pressing behaviour of silicon carbide powders with additions of aluminium oxide,” *J. Mat. Sci.*, **10**, 314-320 (1975).
- R.W. Williams, “Effects of Sintering Temperatures on the Physical and Crystallographic Properties of β -SiC,” *Am. Ceram. Soc. Bull.*, **64**(10), 1385-89 (1985).
- D.H. Stutz, S. Prochazka, “Sintering and Microstructure Formation of β -Silicon Carbide,” *J. Am. Ceram. Soc.*, **68**(9), 479-82 (1985).
- T. Hase et al, “Sinterability of Submicron β -SiC Prepared from Siliconization of Carbon Black,” *Yogyo-Kyokai-Shi*, **86**(12), 606-611 (1978).
- 이 정근 저, “이화학사전” 대광서림, 593(1985).
- A.G. Evans et al, “Fracture Toughness Determinations by Indentation,” *J. Am. Ceram. Soc.*, **59**(7-8), 371-372 (1976).
- Hong-Lim Lee et al, “Syntheses of SiC and $\text{SiC-Si}_3\text{N}_4$ Powder from Jecheon Quartz,” *요업학회지*, **72** (1), 67~73 (1986).
- T. Hase et al, “Properties of Submicron β -SiC Prepared from Siliconization of Carbon Black,” *Yogyo-Kyokai-Shi*, **86**(11), 541-546 (1978).
- S. Prochazka et al, “Effect of Boron and Carbon on Sintering of SiC,” *J. Am. Ceram. Soc.*, **58**(1-2), 72 (1975).
- J.G. Lee and I.B. Cutler, “High-Performance Ceramics,”
- 이 홍립, 신 협곤, “완도납석으로 부터 β -SiAlon의 합성”, *요업학회지*, **21**(1) 5-10 (1984).
- 이 홍립, 흥 가온, 정 협진, “공침법으로 제조한 $\text{Al}_2\text{O}_3-\text{ZrO}_2$ 계 세라믹스의 기계적 성질”, *요업학회지*, **23** (3) 44-52 (1986).